

**Manuel de Validation****Fascicule V2.04 : Dynamique linéaire des structures volumiques****Document : V2.04.121**

# SDLV121 - Onde plane de cisaillement dans une colonne élastique

---

**Résumé**

On teste l'application d'un chargement en transitoire sous forme d'une onde plane grâce aux éléments paraxiaux élastiques d'ordre 0, en 3D et en 2D. On applique ce chargement à un massif élastique occupant un demi-espace et dont on modélise une colonne. Cette colonne est supposée infinie dans sa partie inférieure et affleure dans sa partie supérieure au niveau de la surface du demi-espace laissée libre. On observe la propagation de l'onde incidente, sa réflexion sur la surface libre du massif et son absorption par les éléments paraxiaux à l'extrémité inférieure de la colonne.

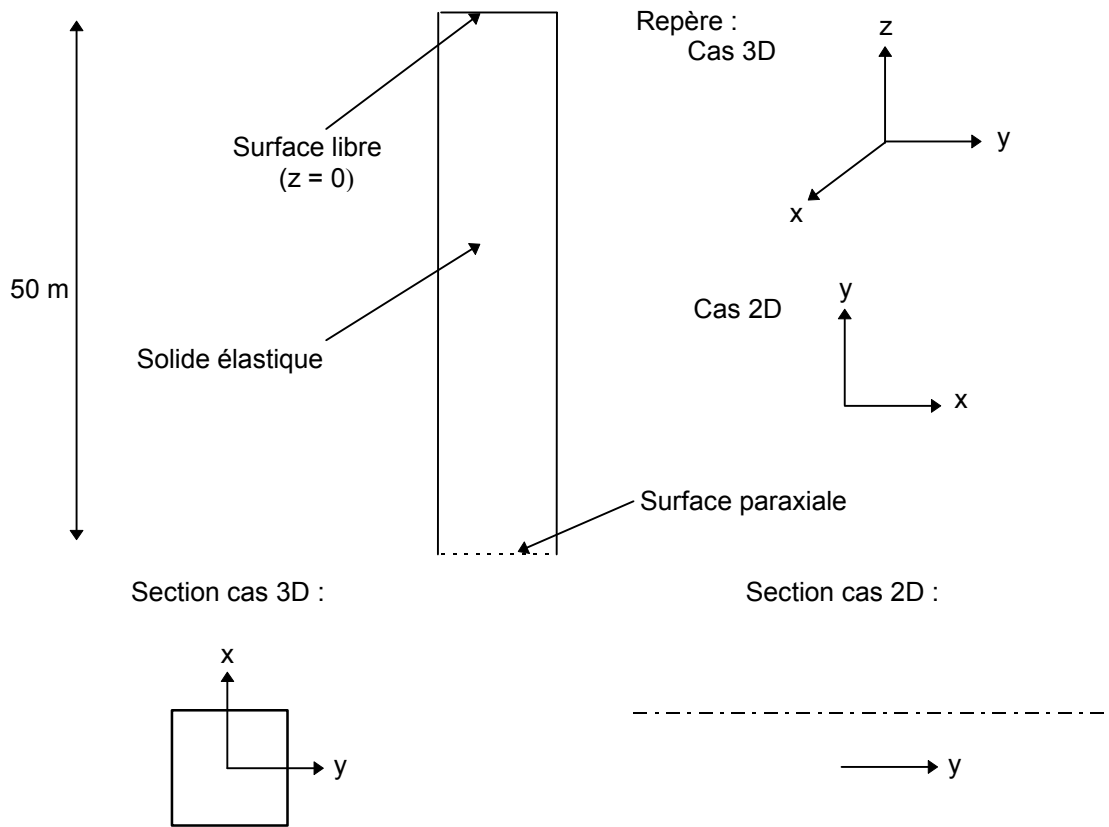
On teste successivement les deux opérateurs transitoires directs du *Code\_Aster*, à savoir `DYNA_LINE_TRAN` et `DYNA_NON_LINE`.

## 1 Problème de référence

### 1.1 Géométrie

Le système considéré dans le cas 3D est celui d'un sol élastique homogène occupant le demi-espace  $z < 0$ . Le plan  $z = 0$  est laissé libre. On modélise de ce sol une colonne verticale, supposée infinie dans sa partie inférieure et affleurant à la surface libre à son extrémité supérieure. On place les éléments paraxiaux sur la surface inférieure, pour traduire le caractère infini de la colonne et appliquer le chargement par onde plane. Dans le cas 2D, le principe est identique, avec une colonne très large dont on ne modélise qu'une section verticale (voir schéma).

De plus, la direction de vibration est l'axe des  $y$  dans le cas 3D. Il s'agit de l'axe des  $x$  dans le cas 2D.



### 1.2 Propriétés des matériaux

Massif élastique : sol souple

Masse volumique :  $1900 \text{ kg.m}^{-3}$   
Module d'Young :  $4,44.10^8 \text{ Pa}$   
Coefficient de Poisson : 0,2

### 1.3 Conditions aux limites et chargements

On s'intéresse au mouvement 1D de la colonne sous l'action excitatrice d'une onde plane verticale. Pour identifier ce mouvement, on impose à tous les noeuds d'une même section horizontale d'avoir le même déplacement.

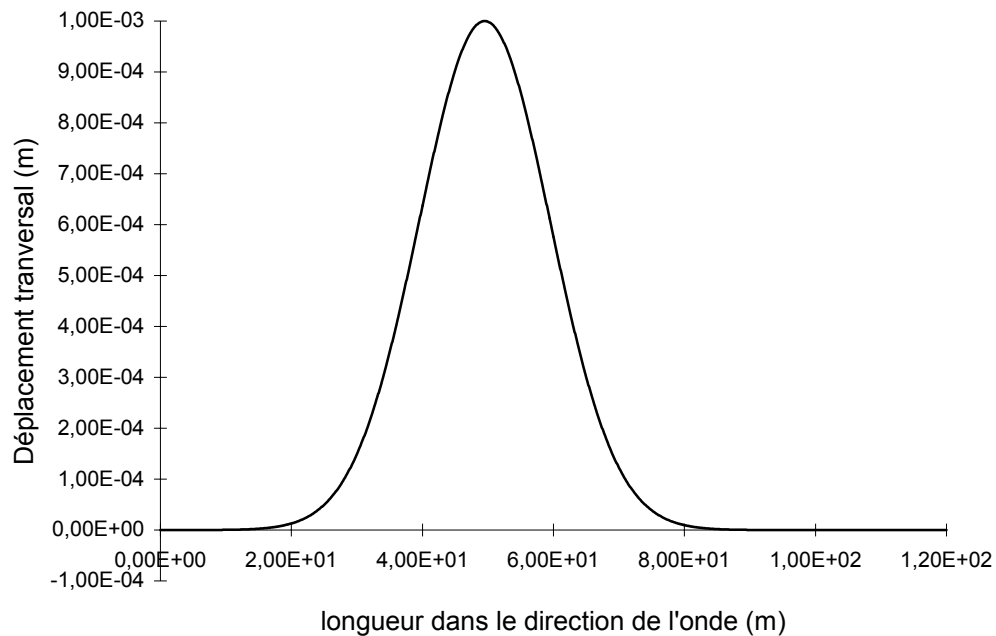
Dans cette configuration, le chargement par onde plane comporte les caractéristiques suivantes :

Direction : ( 0. 0. 1. )

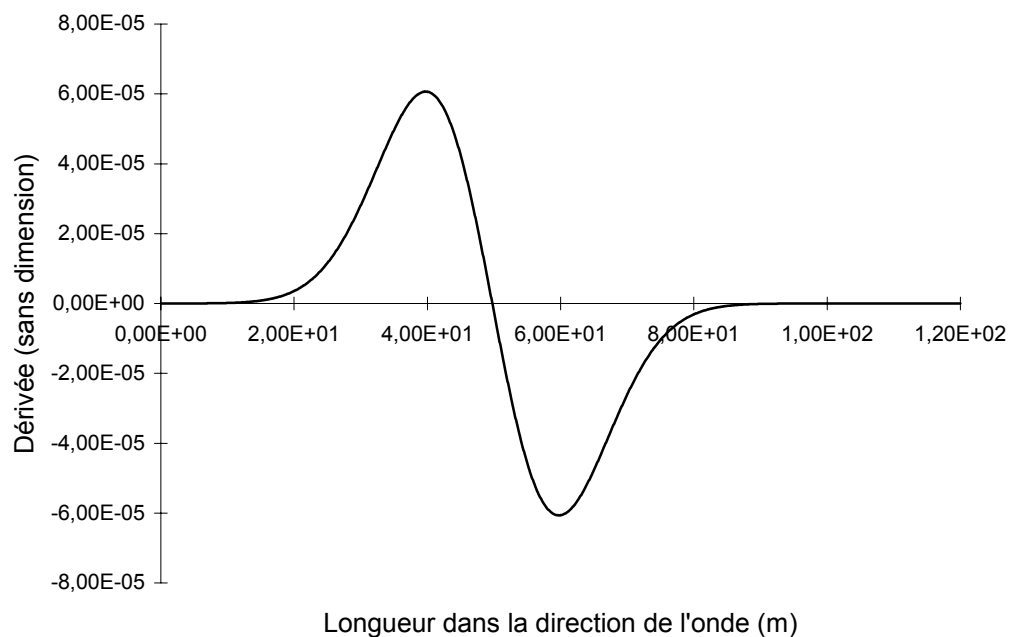
Type\_d'onde : 'SH'

Distance origine initiale : 150 m

Signal : fonction donnée ci-dessous (avec sa dérivée qui sert d'entrée au calcul) :

*Signal de l'onde incidente*

Le maximum est obtenu pour une valeur de 49,5 m du paramètre.

*Dérivée du signal*

## 1.4 Conditions initiales

Le déplacement est nul dans toute la colonne à l'instant initial.

## 2 Solution de référence

La propagation 1D du signal de l'onde incidente dans la colonne est connue analytiquement [bib1]. On peut par exemple déterminer l'instant de passage du maximum de l'onde incidente à mi-hauteur, soit à une profondeur de 25 m, et celui du maximum de l'onde réfléchie au même point.

Compte tenu du signal donné précédemment et de la position de sa source à  $z = -150$  m, le maximum du signal se trouve  $z = -105.5$  m (c'est-à-dire 150 - valeur de 49,5 m du paramètre correspondant) soit à 50,5 m de la surface paraxiale ( $z = -50$  m) de la colonne dans la direction  $z$  (celle de l'onde) à l'instant initial. Pour parvenir à  $-25$  m, il lui faudra donc parcourir 75,5 m. La vitesse des ondes de cisaillement étant de  $281 \text{ m.s}^{-1}$  pour le sol considéré, on peut donc attendre le maximum de déplacement à mi-hauteur dans la colonne pour le temps 0,27 s. De plus, lors du passage de l'onde réfléchie, le signal aura parcouru 50 m de plus, donc on peut l'attendre pour le temps 0,44 s. La valeur du maximum mesuré à ces instants doit être de 1 mm. Ce sont ces valeurs analytiques qu'on va tester dans le calcul.

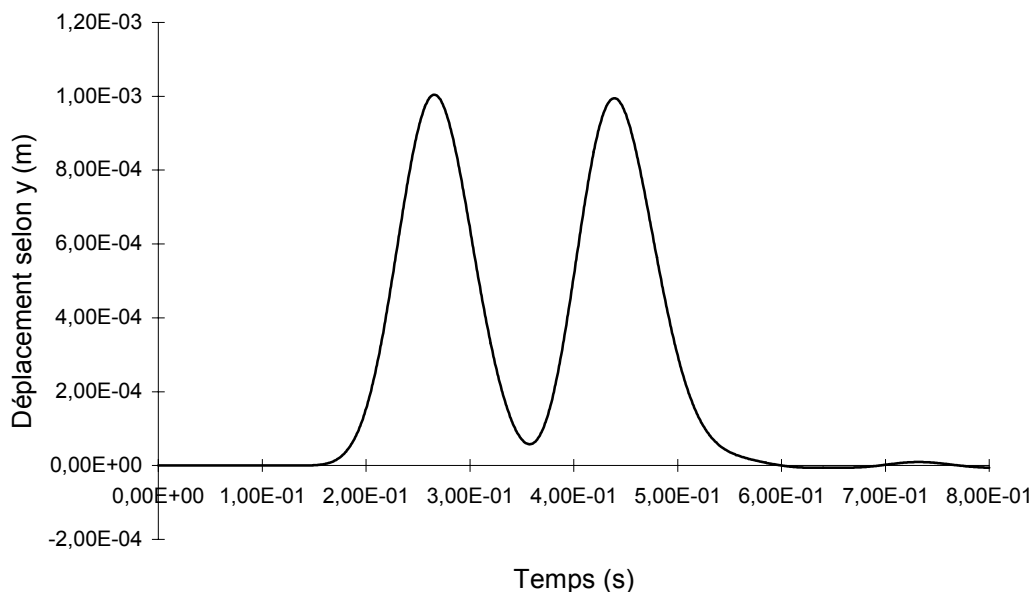
### 2.1 Résultats de référence

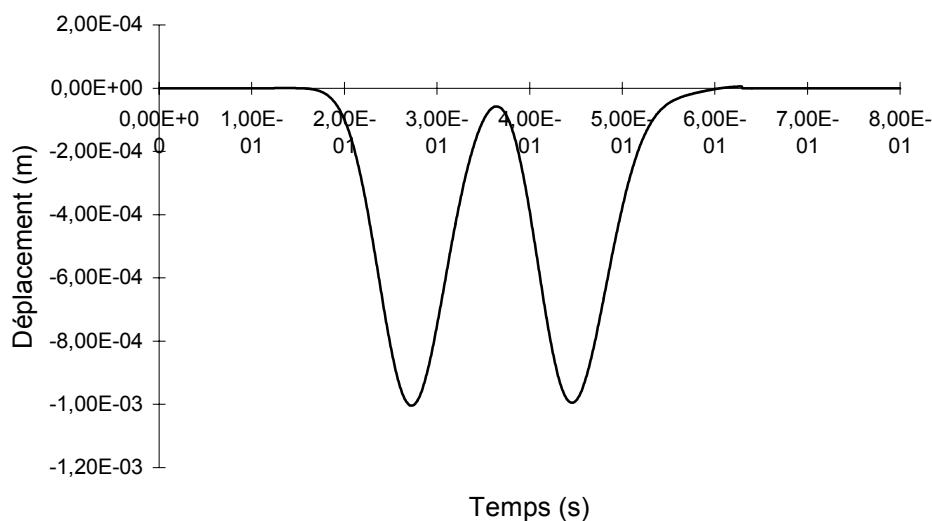
On donne dans ce paragraphe les résultats obtenus avec le *Code\_Aster* dans cette configuration. On vérifie qu'ils sont satisfaisants qualitativement et quantitativement.

Ils concernent, pour le cas 3D, l'évolution du déplacement dans les trois directions en un point de la colonne situé à mi-hauteur, soit à 25 m de la surface libre dans la direction  $z$ . La mesure du déplacement est identique dans le cas 2D.

De plus, la direction de vibration est l'axe des  $y$  dans le cas 3D. Il s'agit de l'axe des  $x$  dans le cas 2D.

*Déplacement transversal dans la colonne - cas 3D*



*Déplacement transversal dans la colonne - cas 2D*

On vérifie tout d'abord que le déplacements est nul selon x et z dans le cas 3D et selon y dans le cas 2D.

La célérité des ondes de cisaillement dans un sol souple est de  $280 \text{ m.s}^{-1}$  environ. La longueur du signal est de 80 m environ. On vérifie donc que la largeur des pics est bien de 0,3 s à la base.

On observe également aux instants prévus la présence des deux pics identiques dus à la réflexion sans changement de signe sur la surface libre. Leur amplitude de 1 mm retrouve également le signal imposé.

L'inversion du signe du déplacement dans le cas 2D n'est due qu'à l'orientation du repère.

## 2.2 Incertitudes

Il s'agit d'un résultat d'étude numérique. On retrouve les prévisions qualitatives et quantitatives. Les valeurs numériques sont liées à la précision du calcul.

## 2.3 Références bibliographiques

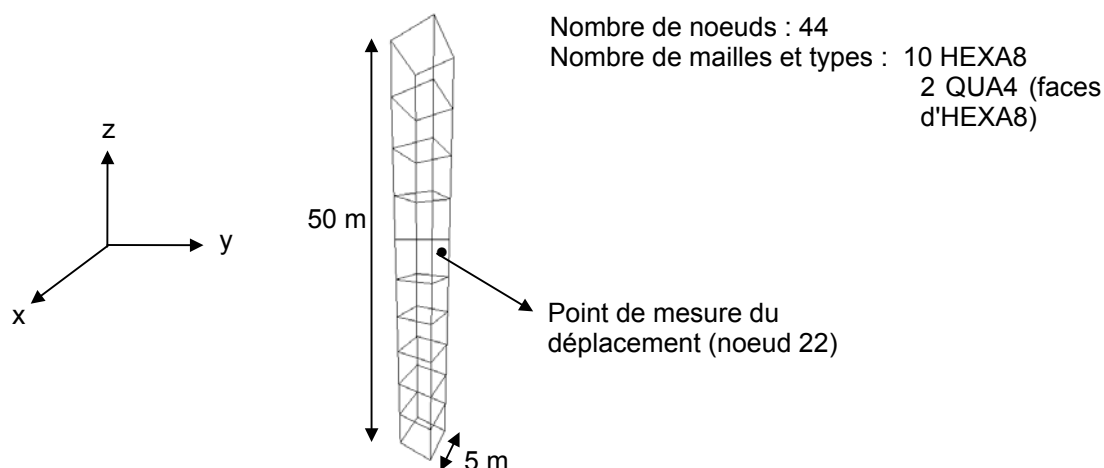
- [1] H. MODARESSI "Modélisation numérique de la propagation des ondes dans les milieux poreux élastiques." Thèse docteur-ingénieur, Ecole Centrale de Paris (1987)

### 3 Modélisation A : cas 3D

#### 3.1 Caractéristiques de la modélisation

Barreau : PHENOMENE : ' MECANIQUE '  
 MODELISATION : ' 3D '

#### 3.2 Caractéristiques du maillage



#### 3.3 Fonctionnalités testées

##### Commandes

AFFE_MODELE	AFFE	MODELISATION	3D_ABSO
AFFE_CHAR_MECA_F	ONDE_PLANE		
DYNA_LINE_TRAN			
DYNA_NON_LINE			

#### 3.4 Valeurs testées

On teste les valeurs du déplacement dans les trois directions au noeud 22 (voir maillage). Pour la direction y, on teste la valeur des deux maxima et le retour au repos après la passage de l'onde. Pour les deux autres directions, on teste la nullité du déplacement, par exemple à l'instant du premier maximum en y.

- DYNA\_LINE\_TRAN :

Direction	Instant (s)	Calcul avec Code_Aster (déplacement en m)	Résultats de référence (déplacement en m)	Ecart référence - calcul avec Code_Aster (%)
Y	2.65600E-01	1.00410E-03	1.E-03	0.41 RELATIF
	4.38400E-01	9.94716E-04	1.E-03	0.53 RELATIF
	8.00000E-01	-5.8E-6	0.	5.8E-4 ABSOLU
X	2.65600E-01	0.	0.	0. ABSOLU
Z	2.65600E-01	0.	0.	0. ABSOLU

- DYNA\_NON\_LINE :

Direction	Instant (s)	Calcul avec Code_Aster (déplacement en m)	Résultats de référence (déplacement en m)	Ecart référence - calcul avec Code_Aster (%)
Y	2.67200E-01	1.00396E-04	1.E-03	0.40 RELATIF
	4.40000E-01	9.94928E-04	1.E-03	0.51 RELATIF
	7.20000E-01	5.1E-6	0.	5.1E-4 ABSOLU
X	2.67200E-01	0.	0.	0. ABSOLU
Z	2.67200E-01	0.	0.	0. ABSOLU

### 3.5 Paramètres d'exécution

Version : 5.2.16

Machine : SGI ORIGIN 2000

Temps CPU : 300

Mémoire : 64 Mo

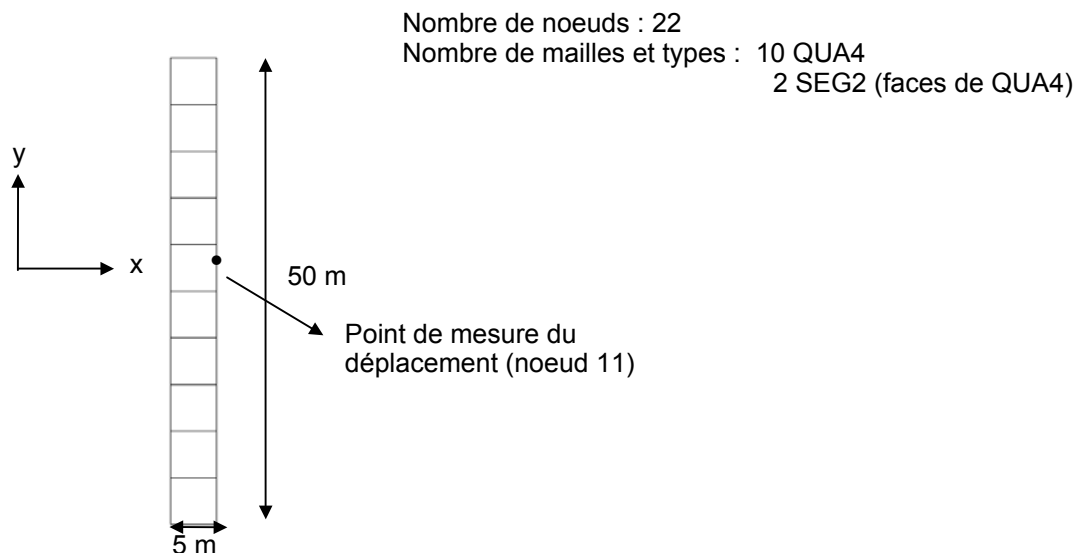
## 4 Modélisation B : cas 2D

### 4.1 Caractéristiques de la modélisation

Barreau : PHENOMENE : ' MECANIQUE '

MODELISATION : ' D\_PLAN '

### 4.2 Caractéristiques du maillage



### 4.3 Fonctionnalités testées

#### Commandes

AFFE_MODELE	AFFE	MODELISATION	D_PLAN_ABSO
AFFE_CHAR_MECA_F	ONDE_PLANE		
DYNA_LINE_TRAN			
DYNA_NON_LINE			

## 4.4 Valeurs testées

On teste les valeurs du déplacement dans les trois directions au noeud 11 (voir maillage). Pour la direction x, on teste la valeur des deux maxima et le retour au repos après la passage de l'onde. Pour la direction y, on teste la nullité du déplacement, par exemple à l'instant du premier maximum en y.

- DYNA\_LINE\_TRAN :

Direction	Instant (s)	Calcul avec Code_Aster (déplacement en m)	Résultats de référence (déplacement en m)	Ecart référence - calcul avec Code_Aster (%)
X	2.65600E-01	-1.00410E-04	-1.E-03	0.41 RELATIF
	4.38400E-01	-9.94716E-04	-1.E-03	0.53 RELATIF
	8.00000E-01	5.8E-6	0.	5.8E-4 ABSOLU
Y	2.65600E-01	0.	0.	0. ABSOLU

- DYNA\_NON\_LINE :

Direction	Instant (s)	Calcul avec Code_Aster (déplacement en m)	Résultats de référence (déplacement en m)	Ecart référence - calcul avec Code_Aster (%)
X	2.65600E-01	-1.00319E-03	-1.E-03	0.32 RELATIF
	4.38400E-01	-9.93554E-04	-1.E-03	0.64 RELATIF
	8.00000E-01	3.0E-6	0.	3.0E-4 ABSOLU
Y	2.65600E-01	0.	0.	0. ABSOLU

## 4.5 Paramètres d'exécution

Version : 5.2.16  
Machine : SGI ORIGIN 2000  
Temps CPU : 300

Mémoire : 64 Mo

## 5 Synthèse des résultats

On retrouve par le calcul avec les deux modélisations quantitativement, les valeurs des maxima de déplacement égaux à l'amplitude maximale du signal et les valeurs des instants correspondants et qualitativement, le retour au repos après le passage de l'onde réfléchie.

Les résultats obtenus avec les opérateurs DYNA\_LINE\_TRAN et DYNA\_NON\_LINE sont très proches. La différence provient de l'obtention à chaque pas de temps de l'état d'équilibre des efforts du second membre avec l'opérateur DYNA\_NON\_LINE, ce qui explique que ses résultats sont en général un petit peu meilleurs même avec un pas de temps plus grand. Cette différence reste toutefois minime car le pas de temps utilisé avec DYNA\_LINE\_TRAN est suffisamment petit.